

مجله پزشکی دانشگاه علوم پزشکی تبریز

دوره ۲۸ شماره ۴ زمستان ۱۳۸۵ صفحات ۱۱۳-۱۰۹

سلولهای بلاست در خون بیماران مبتلا به لوسمی های حاد: مطالعه مقایسه ای در سیستم H1 و فلوسیتومتری و مروری بر عملکرد دو سیستم

دکتر سید هادی مجلائی: دانشیار گروه بیوشیمی و آزمایشگاه های بالینی، دانشکده پزشکی، دانشگاه علوم پزشکی تبریز: نویسنده رابط E-mail: Shmaljaei@yahoo.com

دکتر جلیل واعظ: استاد گروه داخلی، هماتولوژی و مدیکال انکولوژی دانشکده پزشکی دانشگاه علوم پزشکی تبریز

دریافت: ۸۴/۸/۲۸، پذیرش: ۸۵/۲/۲۴

چکیده

زمینه و اهداف: اطلاع از وجود سلولهای بلاست در خون و مغز استخوان یکی از شاخصهای تشخیص لوسمی حاد است. در صورت وجود بلاست تعیین مقدار درصد آن در پیگیری و کترل بیماران و نیز بعد از درمان نقش ویژه ای دارد. هر چند مشاهده مستقیم سلولها با میکروسکپ روش دقیق است با اینحال وقت گیر بوده و نتایج از فردی به فرد دیگر ممکن است متفاوت باشد. سیستم شمارشگر اتوماتیک H1 علاوه بر انجام شمارش افتراقی کامل قادر است مقدار درصد بلاستها را نیز گزارش نماید. بنظر اطلاع از میزان درستی عملکرد این سیستم در محاسبه درصد بلاست، اقدام بمقایسه آن با مقادیری که توسط فلوسیتومتری گزارش میشود نمودیم.

روش بررسی: نمونه خون تعداد ۴۸ بیمار مبتلا به انواع لوسمی حاد بعنوان تست و ۵۰ بیمار مبتلا به لوسمی لنفوئیدی مزمن را بعنوان شاهد همزمان بوسیله H1 و فلوسیتومتری با استفاده از آنتی بادی منوکنال ضد CD45 بمنظور بدست آوردن تعداد درصد بلاستها مطالعه گردیدند.

یافته ها: مقدار متوسط در صد بلاستهای بدست آمده از H1 برای لوسمی های حاد لنفوئیدی B و حاد لنفوئیدی T و میلوئیدی حاد از جمله میلوئیدی مزمن در فاز بلاستیک بترتیب ۱۶/۳ درصد و ۲۷ درصد و ۴۹/۶ درصد بود. مقادیر متوسط در فلوسیتومتری بترتیب ۶۷/۶ و ۷۹/۷ و ۸۷ درصد بدست آمد. هیچکدام از سیستمهای یاد شده برای CLL بلاست نشان ندادند.

نتیجه گیری: آنالیز سلولهای خون توسط H1 در لوسمی لنفوئید مزمن که معمولاً فاقد بلاست هستند قبل اعتماد ولی در مورد لوسمی های حاد نادرست است. H1 در مقایسه با فلوسیتومتری با اختلاف قابل توجهی ($p < 0.05$) بلاستهای کمتری در نوع حاد نشان می دهد.

کلید واژه: لوسمی، بلاست، شمارشگر H1، فلوسیتومتری

مقدمه

روشن می شوند. البته افزایش LUC به تنها نمی تواند باعث روشن شدن سیگنال BLSI^۱ بشود. اگر مجموع مقدار درصد نوتروفیل و ائوزینوفیل منهای پلی مورفو نوکلئار کانال بازو بیشتر از ۱۰٪ باشند، علامت گرانولوسیتهای نارس (IGA) و چنانچه تعداد لنفوسیتهای آتنیسک بیشتر از ۴٪ باشد و یا مجموع درصد بلاست ها بعلاوه ۱/۵ کمتر از ۴٪ باشد علامت ATYP ظاهر خواهد شد. بطور خلاصه سیستم H1 به عنوان یک فلوسیتومتر بسته (کاربر نمی تواند تنظیمات اویله آنرا تغیر دهد) فقط برای انجام CBC از خون طراحی شده و بنا با ظهار سازندگانش شمارش افتراقی لکوسیت هارا بطور کامل انجام داده و از جمله قادر است مقدار درصد بلاست های موجود در خون را مشخص نماید^(۱).

فلوسیتومتری چند پارامتری: ^۲ بطور کلی در همه فلوسیتومترها استفاده از لیزر ۴۸۸ نانومتری که سیگنالهای نوری برای ثبت و ضبط تولید می کند عمومیت دارد. سلولهای غوطه ور در محلول ایزوتون (sheath)، از مقابل پرتو لیزری بصورت تک تک و با سرعتی در حدود ۱۰ تا ۱۰۰۰ سلول در ثانیه عبور کرده و در عین حال شعاعهای نورانی به موج یابها ^(۲) فرستاده می شوند.

دستگاه H1: ^۳ Bayer/Technicon یک نوع فلوسیتومتری اتوماتیک است که دو کانال اپتیکال را مورد استفاده قرار میدهد. ۱- کانال پراکسیداز که با استفاده از لامپ تنگستن و ایجاد شعاع نورانی اطلاعاتی در باره اندازه سلول وشدت جذب نوری ناشی از رنگ آمیزی پراکسیداز فراهم میکند. ۲- کانال بازو فیل که با استفاده از اشعه لیزر تششععات نوری را بعد از عبور سلول از مقابل آن در دو زاویه مختلف پس از اجرای لیزر سلولی که فقط بازو فیل ها دست نخورده می مانند را اندازه گیری می کند. این کانال همچنین اطلاعاتی در باره لوبولاریتی هسته فراهم می کند. H1 علاوه بر شمارش افتراقی کامل لکوسیت ها، سلولهای درشت پراکسید از منفی (LUC^۱) و اندکس میانگین پراکسیداز موجود در نوتروفیل ها (MPXI^۲) ها و اندکس لوبولاریتی (LI) سلول ها را نیز محاسبه می کند. H1 عالیم متعددی را به نمایش در می آورد: اگر درصد سلول های بلاست در کانال بازو بیشتر از ۲/۵ درصد باشد علامت بازو بلاست (BBLA^۳) ظاهر می شود. اگر تعداد LUC بیشتر از ۴ درصد باشد علامت LUCA^۴ و هنگامیکه بازو بلاست و LUC ها افزایش بیاند سیگنال بلاست (BLSI)

- 1. large Unstained Cell, LUC
- 2. Myeloperoxidase index, MPXI
- 3. Baso Blast Alarm, BBLA

- 4. large Unstained Cell Alarm, LUCA
- 5. Blast Signal, BLSI
- 6. Multiparameter Flow Cytometry

در حال حاضر مشاهده مستقیم سلولها و محاسبه تعداد بلاست با میکروسکپ در بین هماتولوژیست‌ها یک روش رایج و اساسی است با اینحال وقت گیر بوده و نتایج از فردی به فرد دیگر ممکن است متفاوت باشد. با توجه به اهمیت موضوع و در دسترس بودن این دو دستگاه انگیزه ای ایجاد گردید تا با استفاده از آنتی بادی ضد مارکر CD45 ، بلاست‌ها را که سلول نابالغ است در سیستم فلوسیتوتمتری مطالعه و نتایج آنرا با نتایج بدست آمده از H1 را با تجزیه و تحلیل آماری مقایسه بنماییم.

مواد و روش‌ها

۴۸ بیمار مبتلا به انواع لوسمی حاد از جمله لوسمی میلوئیدی مزمن در مرحله بلاستیک (CML-B) از سال ۱۳۸۰ لغاًت خرداد ۱۳۸۴ بعد از انجام معاینات اولیه و تشکیل پرونده و انجام آزمایشات روتین و تهیه اسمری خون محیطی، آسپیراسیون و بیوپسی مغز استخوان و مطالعه و خواندن آنها برای این مطالعه انتخاب شدند. پایه انتخاب بیماران و افراد شاهد و کنترل طبیعی در دسترس بودن نتایج همزمان آزمایش CBC دستگاه H1 و نتایج آیمنوفوتیپ از همان نمونه خون بوده که آزمایش CD45 برای شان در خواست شده بود. همچنین ۵۰ بیمار مبتلا به لوسمی لفوسیتی مزمن که در خون خود فاقد بلاست هستند به عنوان شاهد بلاست منفی (با همان شرایط مذکور برای بیماران لوسمی حاد) انتخاب گردیدند. نیز جهت کنترل بیماران شاهد، نمونه‌های خون ۸ نفر از همکاران آزمایشگاه و بخش را که در هنگام نمونه گیری در سلامت کامل بودند همزمان برای CD45 و CBC H1 و EDTA مورد آزمایش قرار گرفتند. هم برای H1 و هم برای آیمنوفوتیپ از جمله CD45 از خون‌های اغشته به ضد انعقاد EDTA, code no. 8421, MERCK, Germany (استفاده شده است. سلولهای تک هسته ای بدست آمده از ۲۰ میلی لیتر خون افراد حداثر تا دو ساعت با بکار بردن معروفهای موجود در پانل مخصوص آیمنوفوتیپ لوسمی‌های حاد از قبیل CD2, CD3, CD5, CD7, CD10, CD13, CD14, CD19, CD20, CD22, CD33, CD34, CD45, TdT, MPO, HLA-DR, IgM و گلیکوفورین A (خریداری شده از DAKO) برابر دستورالعمل سازندگان معرفها و روش استاندارد و مرسم آزمایشگاه فلوسیتو متري مرکر آیمنوفوتیپ می شدند.

مطالعه مخصوص اندازه گیری تظاهراتی ژن CD45 در سطح سلول‌های خون به روش آیمنو فلورانس مستقیم با فلوسیتوتمتری:

همانند سایر روش‌های فلوسیتو متري ابتدا سلولهای تک هسته ای بوسیله فایکول (تولید بهار افسان تهران) از خون جدا کرده و بعد از شستشو با محلول هنگس و تهیه سوسپانسیون مناسب، یک میلیون سلول در هر لوله با مقدار ۱۰ لاندا (توصیه شده توسط سازنده) از منوکلنان آنتی بادی ضد CD45 (Code no. F 0861) from DAKO, DK-2600 Glostrup, Denmark

پرتوهای نوری با توجه به ویژگی هر سلول از قبیل قطر و محظیات داخل سلولی (غالباً در ارتباط با گرانولاریتی) و نیز بواسطه تهییج لیزری فلوروکرومها متعلق به اجزای سلولی RNA، یا فلوروکرومها که قبلاً به عناصر متعلق شونده به اجزاء سلول از قبیل آنتی بادی های منوکلنان کثروکه شده اند تولید می شوند. پرتوهای نوری تولید شده از میان عدیهای بلوکه کننده (صفی) مختلفی عبور کرده و علایم در یک طیف نوری اپتیمال برای شکل سلول و رنگهای مختلف فلوروکروم ها متتمرکز و ثابت می گردند. پرتوها بعد از عبور، سیگنالهای نوری با انرژی متناسب خود تولید خواهند نمود. این سیگنالهای تولید شده در موج یاب نوری، هم بصورت خطی و هم لگاریتمی به جریان اندخته می شوند. سیگنالهای نوری تولید شده بوسیله شکل، گرانولاریتی و قطر سلولی در سیستم تقویت خطی جریان می یابد. تقویت لگاریتمی هنگامی مورد استفاده قرار می گیرد که سیگنالهای نوری با بیش از چهار عامل از هم متفاوت باشند. در واقع این زمینه اصلی فلوسیتو متري است که آنالیز بروز یا عدم بروز آنتی زنها را بوسیله آنتی بادیهای مونوکلنان نشاندار با فلوروکروم های مختلف امکان پذیر می سازد. هنگامیکه سیگنال نوری اندازه گیری و تقویت گردید، مقدار عدد واقعی آن ثبت می گردد. بطور معمول ۵ نوع سیگنال نوری از هر سلول ثبت می شوند، قطر، گرانولاریتی، و سیگنالهایی از سه نوع فلوروکروم. از این پنج نوع سیگنال، لیستی از مقادیر کمی برای هر سلول ایجاد می شود و این اطلاعات تحت عنوان List Mode-data-file ذخیره می گردند. این لیست در هنگام آنالیز اطلاعات بوسیله نرم افزار مربوط مورد استفاده قرار می گیرد. بطور معمول از List-mode-data-file یک نمایش دو بعدی بصورت هیستوگرام یا سیتوگرام در ارتباط با دو تا پنج عامل ذخیره شده ایجاد می شود. با توجه به تقاضهای موجود بین سلولهای مختلف، سلولهای همگن در هیستوگرام در دستجات مجزا از هم قرار گرفته و می توان با خطوط مجزا کننده نواحی (Gates or Regions) مختلفی با دستجات سلولی موجود در سیتوگرام دو بعدی ایجاد نمود. وقتی که نواحی مشخص شد، محاسبات آماری از قبیل درصد جمعیت سلولی وارائه مقدار عددی شدت فلورسانس بصورت میانگین، میانه و غیره بطور خودکار انجام می گیرد. (۲) فلوسیتو متري چند پارامتری برای آنالیز انواع مختلف از هر بافتی که سلول هاش بصورت سوسپانسیون در آید طراحی و با توجه به پروتکل های آزمایش، کاربر می تواند دستگاه را به منظور های مختلف تنظیم نماید. (۳) آنتی ژن CD45 یک پان لکوسیت مارکر است و تعداد آن در سلولهای بالغ بیشتر از اشکال نابالغ لکوسیت ها میباشد. بنابراین با استفاده از این خاصیت، می توان سلول های بلاست موجود در خون و یا مغزاستخوان را که یکی از شاخصهای تشخیص لوسمی است و تعداد آن در پیگیری و کنترل بیماران و نیز بعد از درمان نقش ویژه ای دارد مطالعه کرد. (۴-۱۰)

و محاسبه مقدار در صد و شدت ظاهر آنتی ژن CD45 در هیستوگرام و یا سیتوگرام به سری لوله ها اضافه میگردید. اطلاعات بدست آمده از آزمایش نمونه ها یعنی مقدار درصد بلاست نسبت به سلولهای تک هسته ای محاسبه شده با ۱۲ فلوسیتومتری و H1 را با استفاده از نرم افزار SPSS (نسخه برای ویندوز) آزمون t-test به منظور یافتن تفاوت معنی دار در شمارش بلاست توسط دو سیستم مختلف بتغییر کرده در سه گروه از لوسمی و نیز کل لوسمی به عمل آمد. P کمتر از ۰.۰۵ معیار تفاوت معنی دار بودن در نظر گرفته شد.

یافته ها

با توجه به جدول ۱ که مشخصات دموگرافیک و نتایج مارکرها را به تفکیک انواع لوسمی و میانگین مقادیر درصد بلاست شان را در دو سیستم جمع بندی کرده است میانگین تعداد بلاست شمارش شده با H1 و فلوسیتومتری برای ۱۱ بیمار مبتلا به B-ALL بترتیب ۶۶/۶ و ۱۶/۳ درصد بوده و در صد بلاست بوسیله فلوسیتومتری به مقدار قابل توجهی بیشتر و متفاوت از H1 است ($p < 0.05$). این منظره برای لوسمی های T-ALL و AML و MLL بترتیب ۷۹/۷ (H1)، ۷۹/۷ (فلو) و ۴۹/۶ (H1)، ۸۷ (Flu) درصد بودند. مقایسه آماری بطور شگفت آوری نشان می دهد که در نزد دو بیماری اخیر نیز مقدار بلاستهای شمارش شده با فلوسیتومتری با اختلاف معنی داری بیشتر از بلاستهای شمارش شده با H1 است به ترتیب با $p < 0.000$ و $p < 0.00$. هیچکدام از سیستمهای یاد شده برای CLL بلاست نشان ندادند

فلوروکروم FITC نشاندار بود بمدت ۳۰-۱۵ دقیقه در حرارت توصیه شده و در تاریکی انکوبه شدند. سپس سلولها بعد از سه بار شستشو با PBS و افزودن نیم میلی میتر محلول فیکساتیو (پارافورمالدهید ۱٪ در PBS) عرض نیم تا دو ساعت با استفاده از نرم افزار Cell Quest (Becton Dickinson, USA) (۳) وارد دستگاه فلوسیتومتری Dickenson آمریکا (۲) کرده سپس با همان نرم افزار نسبت به آنالیز سلولها از نظر منفی / مثبت بودن و همچنین شدت ظاهر مارکرهای سطحی سلولها اقدام گردید. علاوه بر تنظیم دستگاه بروال روزمره، برای تشخیص و افتراق فلوسیتومتریک بلاست از سلولهای غیر بلاست، دستگاه به روش gating (۴ و ۵) هم موقع دادن سلول به دستگاه و هم هنگام آنالیز تنظیم می گردید. برای آنالیز ابتدا سلول های هدف در هیستوگرام های مربوطه ناحیه بندی (مانند نواحی R2, R3 و R4 در شکل ۲) نموده و اعداد متدرج در مقابل هر ناحیه یادداشت می گردید.

جهت بلوکه کردن FC ریپتور و جلوگیری از مثبت کاذب، سلولها قبل از افزودن آنتی بادی معرف با ۵۰ میکرولیتر AB سرم ۰.۲٪ در PBS انکوبه می شدند. تنظیم دستگاه فلوسیتومتری برای اولین نمونه در حافظه کامپیوتر متصل به فلوسیتومتر بایگانی شده و برای بقیه نمونه ها دائماً مورد استفاده قرار می گرفت.

همراه هر نمونه بیمار یا شاهد دو لوله کنترل منفی با آنتی بادی غیر اختصاصی نشاندار با FITC ایزوگروب با آنتی بادی معرف اولیه و یک لوله کنترل بدون آنتی بادی جهت تعیین مناطق منفی

جدول ۱: مشخصات دموگرافیک و مقدار درصد سلولهای بلاست خون ۴۸ بیمار مبتلا به انواع لوسمی های حاد شمارش شده در سیستمهای H1 و فلوسیتومتری (F)

ردیف	مارکرهای تیپیک ^Ω	نفر (۹)	نفر (۲)	نفر (۶)	نفر (۳)	نفر (۱۶)	نفر (۲)	نفر (۲)	نفر (۶)	نفر (۴)
B-ALL*	CD19+, CD10+, CD20+ or CD22+	۱۶/۳	۰-۳۷	۰-۷۰	۰-۷۷	۰-۷۷	۰-۷۷	۰-۷۷	۰-۷۷	۰-۷۷
T-ALL**	CD19+, CD10-, CD20+ or CD22+	۶۶/۶	۷۹/۷	۷۹/۷	۷۹/۷	۷۹/۷	۷۹/۷	۷۹/۷	۷۹/۷	۷۹/۷
AML***	CD2+, CD3+, CD5+, CD7+	۱۸-۹۴	۴۹/۶	۴۹/۶	۴۹/۶	۴۹/۶	۴۹/۶	۴۹/۶	۴۹/۶	۴۹/۶
M0-M1	CD13+, CD14-, CD33+, CD34+, HLADR+	۳۸-۹۴	۱۰-۷۷	۱۰-۷۷	۱۰-۷۷	۱۰-۷۷	۱۰-۷۷	۱۰-۷۷	۱۰-۷۷	۱۰-۷۷
M2	CD13+, CD14-, CD33+, CD34-, HLADR-									
M3	CD11b+, CD13+, CD14+, CD33+, CD34+									
M4	CD13+, CD33+, CD34+									
CML(B)@										

نسبت جنس = ۲۵ مرد/۳۳ زن. میانگین سن بیماران (۵-۶۸) ۳۳/۴.

بر اساس شمارش با H1 مقدار متوسط WBC = $(23 \times 10^9) \times 1000 - 270 \times 10^9$ عدد در میکرو لیتر خون.

مقدار متوسط هموگلوبین = $(14 \times 10^9) - 332 \times 10^9$ g/dl = ۱۲ g/dl مقدار متوسط Plt = $(14 \times 10^9) - 55 \times 10^9$ عدد در میکرو لیتر خون.

متوجه شده تعداد در صد H1 blast در همه بیماران = ۰-۷۷. متوجه شده تعداد در صد F blast در همه بیماران = ۹-۹۶. مطالعه شده توسط سیستم فلوسیتومتری FACSCalibur BECTON DICKINSON مدل .

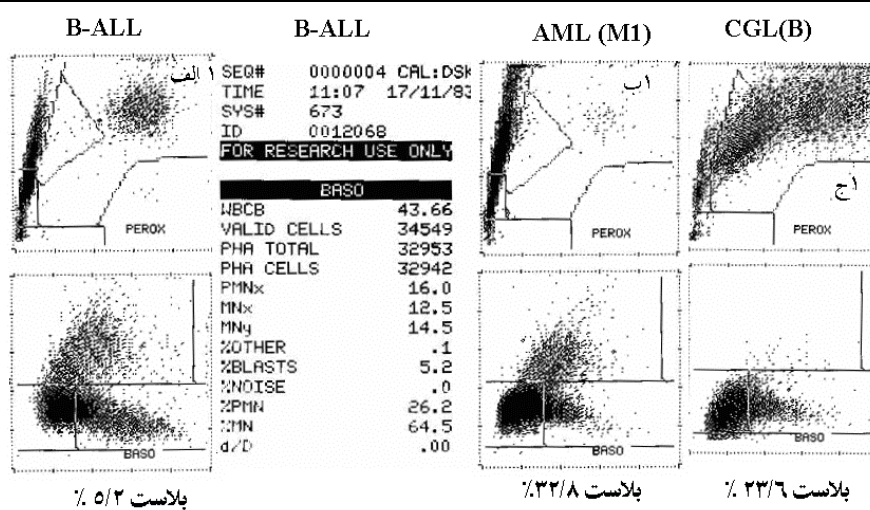
* همه این بیماران نسبت به مارکرهای سلول T و رده میلوبید منفی بودند. ** همه این بیماران نسبت به مارکرهای سلول B و رده میلوبید منفی بودند.

*** همه این بیماران نسبت به مارکرهای سلول B و T منفی بودند به جزء ۴ بیمار که CD19 (یک مورد) و CD7 (سه مورد) را به صورت ناجا (aberrant) در سطح سلولهای خود بروز داده بودند. + = مثبت - = منفی

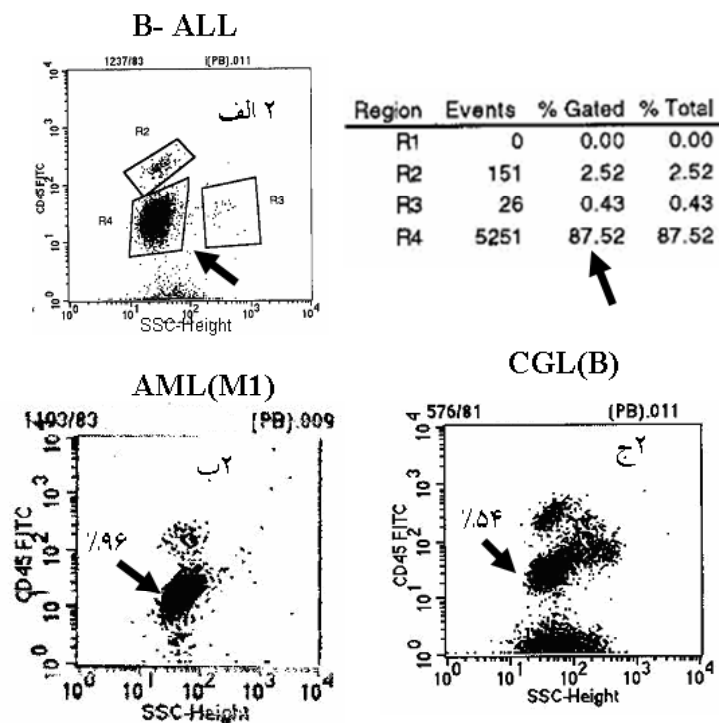
@ لوسمی میلوبیدی مزمن در فاز بلاستیک.

- Cluster of Differentiation, CD
- Right Angle Light Scatter, RALS

- Fluorescein Isothiocyanate, FITC



شکل ۱: نمونه ای از سیتوگرام های کاتال پر اکسیداز (PEROX) و بازو (BASO) (سیستم H1 را نشان می دهد. در هیستوگرام های BASO محور X برای عامل شدت پر اکسیداز موجود در سلول های خون و محور Y برای عامل شکل و اندازه سلولهای خون و در هیستوگرام های BASO محور X برای عامل لوپولارینه هسته سلول ها و محور Y برای شکل و اندازه سلول ها توسط کارخانه سازنده آن قبلاً تنظیم گردیده و کاربر آنرا نمی تواند تغییر بدهد. ۱ الف: سیتوگرام های خون بیمار مبتلا به B-ALL به همراه گزارش خودکار تعداد درصد بلاست ۰/۵۲٪ همان بوسیله H1. ۱ ب: سیتوگرام های خون بیمار مبتلا به AML(M1) که تعداد درصد بلاست آن بوسیله H1 ۳۲/۸٪ تعیین شده است. ۱ ج: سیتوگرام های خون بیمار مبتلا به CML در مرحله بلاستیک که تعداد درصد بلاست آن بوسیله H1 ۳۳/۶٪ گزارش شده است.



شکل ۲: سیتوگرام یا هیستوگرام های تهیه شده بوسیله نرم افزار فلوسیتومتری چند پارامتری را نشان می دهد. ۱ الف: سیتوگرام مربوط به لکوستیت های خون بیمار مبتلا به B-ALL (همان بیمار معرفی شده در جدول شماره ۱) هرآب با نمونه ای از گزارش خودکار فلوسیتومتر نشان دهنده ۷۷/۵٪ بلاست در حالیکه بوسیله H1 ۰/۵٪ گزارش ۱ ب و ۱ ج نشان دهنده تعداد درصد بلاست های موجود در خون همان بیماران (AML(M1) و CML یا CGL) در مرحله بلاستیک موصوف در جدول شماره ۱ که به ترتیب ۹۶٪ و ۵۴٪ گزارش گردیده است. در این هیستوگرام ها محور X برای عامل شکل و اندازه سلول ها (SSC=RALS) (محور Y CD45 FITC) در فلوسیتومتر تنظیم گردیده است. همانطوریکه مشاهده می شود سلول های ناحیه R4 در ۱ الف و پیکان های موجود در سایر سیتوگرام ها یا نگر تجمع سلول های بلاست می باشند. سلول هاییکه بوسیله پیکان اشاره رفته اند در مقایسه با سلول های قسمت بالاتر خود (که لنفوسيت های نرمال باقی مانده اند) از آنتی زن CD45 کمتری برخوردار هستند.

باشد میسر می گردد. همانطوریکه در جداول شماره ۱ نشان داده شده مقدار درصد بلاست های شمارش شده بوسیله هر دو دستگاه با هم مقایسه گردیده و مقدار بلاستهای بدست آمده از H1 برای ALL و AML بمراتب کمتر از مقادیر شمارش شده با فلوسیتومتری است. یافته های این مطالعه که برای اولین بار است انجام می شود بیانگر این است که هر چند فن آوری بکار رفته برای H1 آنرا از سایر شمارشگر های هماتولوژیک ممتاز کرده است با این وصف به نظر می رسد علیرغم موجود بودن بلاست در خون ممکن است گزارش فاقد بلاست تهیه شده و با صرف اعتماد به مقادیر WBC و شمارش افتراقی H1، شناس شناخته شدن و ارجاع بموقع بیماران مبتلا به لوسمی حاد و مخصوصا بیماران با WBC در طیف نرمال، پائین باشد. بنابراین نتیجه می گیرد که آنالیز سلولها تو سط H1 در CLL که معمولاً فاقد بلاست هستند قابل اعتماد ولی در مورد لوسمی حاد با اختلاف فاحشی نسبت به فلوسیتومتری بلاستهای کمتری را نشان می دهد.

تقدیر و تشکر

بدینویسیله از همکاری آقای دکتر کامران صداقت برای تجزیه و تحلیل آماری داده ها واز همکاران محترم آزمایشگاه مرکز بویژه آقای رسول چاپاری و آقای سید مصطفی حدودی که ما را در تهیه این مقاله یاری نموده اند سپاسگزاری می نماید.

References

1. Bayer-Technicon H1 system operators Guide. *Technicon Instruments Corporation*.1989. Tarrytown, New York, USA.
2. FACSCalibur™ System Users Guide. January, 1996. *Becton Dickinson Immunocytometry Systems*. 2350 Qume Drive, San Jose, CA 95131-1807, USA.
3. CELLQuest™ Software Users Guide, December 1994. *Becton Dickinson Immunocytometry Systems*. 2350 Qume Drive, San Jose, CA 95131-1807, USA.
4. Lavabre-Bertrand T, Duperray C, Brunet c, Pancelet P, Exbrayat C, Bourquard P, et al. Quantification of CD24 and CD45 antigens in parallel allows a precise determination of B-cell maturation stages: relevance for the study of B-cell neoplasias. *Leukemia*, 1994; **8**(3): 402-408.
5. Sun T, Sangaline R, Ryder J, Gibbens K, Rollo C, Stewart S, et al. Gating strategy for immunophenotyping of leukemia and lymphoma. *Am J Clin Pathol*. 1997; **108**(2): 152-157.
6. Maljaei S H, Asvadi-Kermani I, Eivazi-Ziae, Nikanfar A, Vaez J. Usefulness of CD45 density in

بحث و نتیجه گیری

مطالعه نمونه های خون و آسپیره مغز استخوان و مشاهده و تشخیص انواع سلولهای خونی از کارهای اصلی و پایه ائی یک هماتولوژیست می باشد. معمولاً بیماران هماتولوژیک از طریق پزشکان عمومی و یا سایر متخصصین به مراکز فوق تخصصی خون و انکولوژی معروف شده و ارجاع داده می شوند. یکی از تست های با ارزش خونشناسی که به وفور از طرف کلیه پزشکان درخواست می گردد آزمایش CBC است. در اغلب موارد تفسیر نتایج حاصل از این آزمایش است که بطور تصادفی این قبیل بیماران شناسائی و جهت تشخیص نهائی و درمان به هماتولوژیست ارجاع داده می شوند. بنابراین شمارش افتراقی لکوسیت در کنار سایر پارامترهای این آزمایش اهمیت بیشتری پیدا کرده و احیاناً ممکن است تشخیص را به طرف بدینیمی بکشاند. وجود بلاست در خون یکی از علایم لوسمی است و حضور آن در ابتدا بوسیله انجام آزمایش CBC مشخص می گردد.

عرضه آنتی ژن CD45 (پان لکوسیت آنتی ژن) در سطح گلوبولهای سفید رابطه مستقیمی با میزان بالغ شدن سلولها دارد. بعبارت دیگر بلاستها دارای کمترین مقدار از این آنتی ژن بوده و حتی ممکن است فاقد آن باشند. همچنین مقدار این آنتی ژن در بین رده های مختلف سلولهای خون متفاوت می باشد. (۴و ۵) بنابراین با استفاده از این خاصیت و ترکیب کردن آن با پارامتر اندازه سلول ها عمل شمارش افتراقی اینمنولوژیک با دستگاه فلوسیتومتری که سیتوگرام آن بصورت CD45/SSC تنظیم شده

the diagnosis of B-cell chronic lymphoproliferative disorders. *Indian J Ned Sci*, 2005; **59**: 143-150.

7. Shah VO, Civin CI, Loken MR. Flow cytometry analysis of human marrow. IV. Differential quantitative expression of T-200 common leukocyte antigen during normal hemopoiesis. *J Immunol* 1988; **140**: 861-1867.
8. Loken MR, Shah VO, Dattilio KL, Civin CI. Flow cytometric analysis of human bone marrow. II. Normal B lymphocyte development. *Blood* 1987; **70**: 1316-1324.
9. Stelzer GT, Shultz KE, Loken MR. CD45 gating for routine flow cytometric analysis of human bone marrow specimens. *Ann NY Acad Sci* 1993; **677**: 265-280.
10. Borowitz MJ, Guenther KL, Shultz KE, Stelzer GT. Immunophenotyping of acute leukemia by flow cytometric analysis: use of CD45 and right-angle light scatter to gate on blasts in three-color analysis. *Am J Clin Pathol* 1993; **100**: 534-540.